

# Моноклинная сверхструктура $V_{14}O_6$ тетрагонального твердого раствора кислорода в ванадии

А. И. Гусев<sup>1)</sup>, Д. А. Давыдов

Институт химии твердого тела Уральского отд. РАН, 620041 Екатеринбург, Россия

Поступила в редакцию 15 октября 2007 г.

Методами рентгеновской дифракции и симметрийного анализа изучена моноклинная (пр. гр.  $C2/m$ ) сверхструктура  $V_{14}O_6$ , образующаяся при атомно-вакансационном упорядочении тетрагонального твердого раствора кислорода в ванадии. Установлено, что канал фазового перехода беспорядок-порядок, связанный с образованием моноклинного субоксида  $V_{14}O_6$ , включает шесть сверхструктурных векторов, принадлежащих трем нелифициевским звездам  $\{\mathbf{k}_{1-1}\}$ ,  $\{\mathbf{k}_{1-2}\}$  и  $\{\mathbf{k}_{1-3}\}$  одного типа  $\{\mathbf{k}_1\}$ . Рассчитана функция распределения атомов кислорода в моноклинной сверхструктуре  $V_{14}O_6$ . Показано, что смещения атомов V искажают объемно-центрированную тетрагональную металлическую подрешетку, подготавливая формирование гранецентрированной кубической подрешетки и переход от субоксида  $V_{14}O_6$  к кубическому монооксиду ванадия со структурой  $B1$ .

PACS: 61.50.Ks, 61.66.Fn, 61.72.Ji, 64.70.Kb

Система V–O по разным данным содержит от 21 до 25 соединений и фаз [1–3], большинство из которых – оксиды с высоким (60 ат.% и более) содержанием кислорода ( $V_nO_{2n-1}$  с  $n = 2, 3, 4, 5, 6, 7$  и 8,  $VO_2$ ,  $VnO_{2n+1}$  с  $n = 2, 3$  и 7). Эти оксиды хорошо изучены, поскольку во многих из них наблюдаются фазовые переходы металл – изолятор. Оксиды ванадия, содержащие 60 ат.% кислорода и более, как правило, не имеют областей гомогенности.

В отличие от них оксиды ванадия, содержащие менее 50–55 ат.% кислорода, обладают широкими областями гомогенности и принадлежат к группе сильно нестехиометрических соединений [4, 5]. Нестехиометрические оксиды ванадия граничат с твердым раствором кислорода в ванадии V(O), называемым в литературе  $\beta$ -фазой. В нестехиометрических оксидах ванадия и в  $\beta$ -фазе атомы кислорода O и структурные вакансы  $\square$  (незаполненные узлы неметаллической подрешетки) образуют раствор замещения. Высокая концентрация вакансий является предпосылкой возможного атомно-вакансационного упорядочения. Однако упорядочение нестехиометрических оксидных фаз ванадия изучено очень мало.

Особый интерес представляет упорядочение твердого раствора кислорода в ванадии, то есть  $\beta$ -фазы, по составу близкой к  $V_2O$  ( $VO_{0.50}$ ). Первоначально предполагалось [6], что при упорядочении  $\beta$ -фазы образуется моноклинная сверхструктура  $V_2O$ , включающая 125 элементарных ячеек базисной тетрагональной структуры. Однако по данным [7–10] упо-

рядочение атомов кислорода и вакансий  $\square$  в тетрагональном твердом растворе V(O) приводит к образованию  $\gamma$ -фазы – упорядоченного субоксида  $V_{14}O_6$  ( $V_{14}O_6\square_8$ ). Формулу этого субоксида записывают также в виде  $V_7O_3$  ( $V_7O_3\square_4$ ) и  $V_2O_{1+\alpha}$  [8, 9]. Исследования [7–10] подтвердили моноклинную симметрию упорядоченного субоксида ванадия. По данным [8], моноклинный субоксид ванадия имеет область гомогенности от  $VO_{0.42}$  до  $VO_{0.54}$ , а согласно [9] верхней границе области гомогенности соответствует  $VO_{0.49}$ . При большем содержании кислорода образцы наряду с субоксидом  $V_{14}O_6$  содержат кубический монооксид ванадия  $V_xO_z$  с вакансиями в обеих (металлической и кислородной) подрешетках. Распределения атомов в сверхструктуре  $V_{14}O_6$ , предложенные в работах [8–10], также различны. Теоретический анализ превращения “ $\beta$ -фаза  $VO_y \rightarrow \gamma$ -фаза  $V_{14}O_6$ ” никогда не проводился.

В данной работе определен канал структурного фазового перехода беспорядок-порядок, связанного с образованием сверхструктуры  $V_{14}O_6$ , найдено распределение атомов кислорода и ванадия в решетке идеальной сверхструктуры и на основе экспериментальных данных с учетом смещений установлены координаты атомов в реальном упорядоченном субоксиде ванадия типа  $V_{14}O_6$ .

Образцы  $VO_y$  ( $0.8 \leq y \leq 1.11$ ) получены твердофазным спеканием смеси порошков гидрида  $VH_{1.5}$  и оксида  $V_2O_3$  в вакууме  $0.0013 \text{ Па}$  ( $10^{-5} \text{ мм рт.ст.}$ ) при температуре  $1773 \text{ К}$  в течение  $10 \text{ ч}$  с промежуточным перетиранием продуктов спекания через 5 ч. Затем синтезированные образцы дополнитель-

<sup>1)</sup>e-mail: gusev@ihim.uran.ru

отожгли в кварцевых ампулах, вакуумированных до  $10^{-5}$  Па, понижая температуру от 1273 до 723 К в течение 100 ч. Относительное содержание кислорода в образцах определяли методом термогравиметрии по величине привеса после полного окисления образца до высшего оксида  $V_2O_5$ .

Фазовый состав образцов и параметры кристаллической решетки различных фаз определяли методом рентгеновской дифракции на автодифрактометре ДРОН-УМ1. Дифракционные измерения проводили методом Брегга-Брентано в  $CuK\alpha_{1,2}$  излучении в интервале углов  $2\theta$  от  $10^\circ$  до  $140^\circ$  с шагом  $\Delta 2\theta = 0.03^\circ$  и временем сканирования 2 с в точке. Уточнение структуры было выполнено с помощью программного пакета GSAS [11]. Фон описывали полиномом Чебышева 5-го порядка, для описания профиля дифракционных отражений использовали функцию псевдо-Фойгта.

Рентгеновская дифракция показала, что синтезированные образцы с содержанием кислорода  $y > 0.87$  содержали только кубический (пр. гр.  $Fm\bar{3}m$ ) монооксид ванадия, а в образцах  $VO_{0.81}$  и  $VO_{0.86}$  помимо кубического монооксида присутствовал упорядоченный моноклинный (пр. гр.  $C2/m$ ) субоксид ванадия  $V_{14}O_6$  в количестве 30 и 13 ат.%, соответственно. Низкотемпературный отжиг привел к увеличению количества фазы  $V_{14}O_6$  в образцах  $VO_{0.81}$  и  $VO_{0.86}$  (рис.1) и появлению этой же фазы в образцах  $VO_y$  ( $0.87 \leq y \leq 0.98$ ), которые до отжига содержали только кубический монооксид ванадия  $V_xO_z$ . Период решетки  $a_{B1}$  кубического монооксида ванадия после отжига образцов  $VO_y$  с  $y \leq 0.98$  увеличился. Тетрагональный (пр. гр.  $I4/mmm$ ) твердый раствор кислорода в ванадии ( $\beta$ -фаза) в синтезированных и отожженных образцах не обнаружен. Количество появившейся фазы  $V_{14}O_6$  составляло от ~15 мас.% в  $VO_{0.87}$  до ~20 мас.% в  $VO_{0.96}$  и ~4 мас.% в  $VO_{0.98}$ . Наличие фазы  $V_{14}O_6$  в образцах  $VO_{0.81}$  и  $VO_{0.86}$ , синтезированных при 1773 К, означает, что образование этой фазы начинается при температуре, примерно на 300 К выше, чем предполагаемая в литературе [2, 3] температура, равная ~1460 К. Увеличение содержания или появление моноклинного субоксида  $V_{14}O_6$  после отжига образцов  $VO_y$  ( $0.81 \leq y \leq 0.98$ ) может быть следствием предполагаемой в литературе перитектоидной реакции  $\beta$ -фаза +  $V_xO_z \rightarrow V_{14}O_6$ . Концентрация кислорода в моноклинном субоксиде  $V_{14}O_6$  меньше, чем в кубическом монооксиде ванадия, поэтому появление субоксида  $V_{14}O_6$  после отжига образцов сопровождается ростом содержания кислорода в монооксиде  $V_xO_z$  и, как следствие, увеличением периода решетки  $a_{B1}$  кубического монооксида.

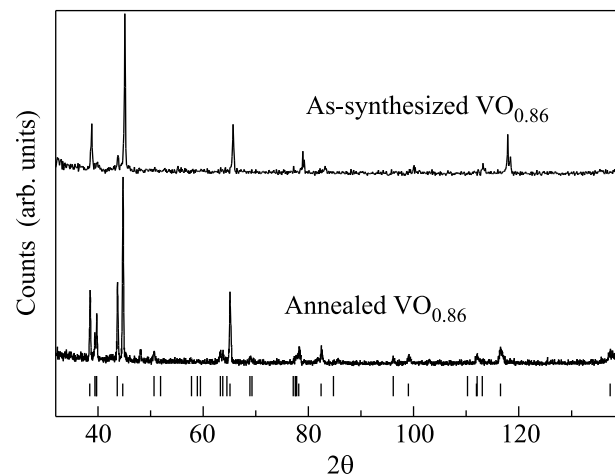


Рис.1. Рентгенограммы образца  $VO_{0.86}$ : синтезированный образец  $VO_{0.86}$  содержал ~ 13 мас.% фазы  $V_{14}O_6$  и ~ 87 мас.% кубического монооксида ванадия  $V_xO_z$ ; после отжига количество фазы  $V_{14}O_6$  выросло до ~ 32 мас.%. Длинные и короткие штрихи соответствуют дифракционным отражениям упорядоченного субоксида  $V_{14}O_6$  и кубического монооксида ванадия, соответственно. Излучение  $CuK\alpha_{1,2}$

Минимизация рентгенограммы отожженного образца  $VO_{0.86}$  (рис.2) показала, что он содержит

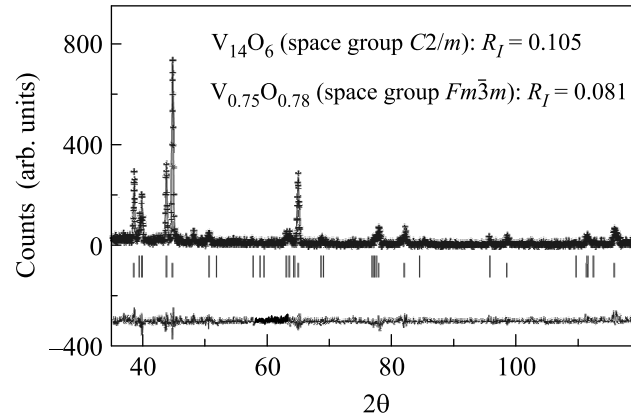


Рис.2. Экспериментальная (крестики) и расчетная (сплошная линия) рентгенограммы отожженного образца  $VO_{0.86}$ , содержащего ~ 32 мас.% упорядоченного моноклинного (пр. гр.  $C2/m$ ) субоксида ванадия  $V_{14}O_6$  и ~ 68 мас.% кубического (пр. гр.  $Fm\bar{3}m$ ) монооксида ванадия  $V_{0.75}O_{0.78}$ . Длинные и короткие штрихи соответствуют дифракционным отражениям упорядоченного субоксида  $V_{14}O_6$  и кубического монооксида ванадия, соответственно. В нижней части рисунка показана разность ( $I_{obs} - I_{calc}$ ) между экспериментальной и расчетной рентгенограммами. Излучение  $CuK\alpha_{1,2}$

~ 32 мас.% субоксида  $V_{14}O_6$  и ~ 68 мас.% кубического монооксида ванадия  $V_{0.75}O_{0.78}$ ; для субоксида

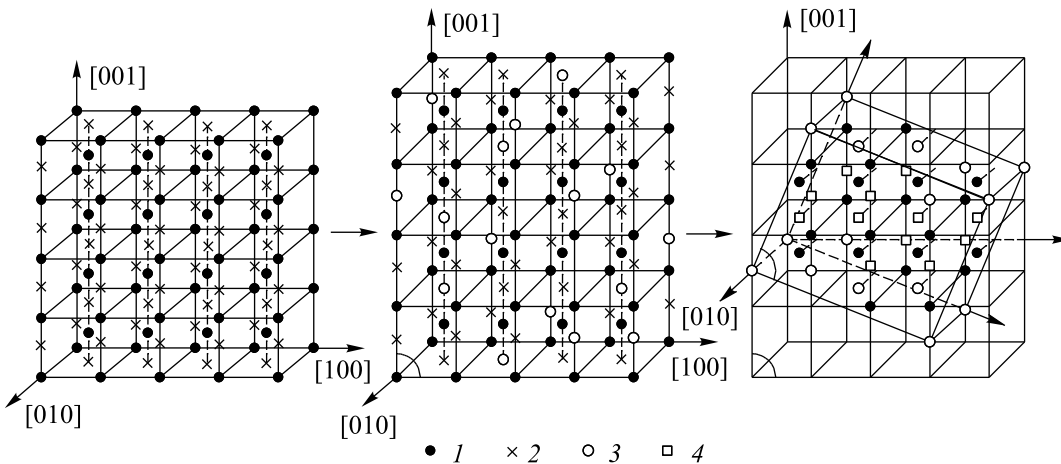


Рис.3. Объемно-центрированная кубическая (пр. гр.  $Im\bar{3}m$ ) решетка ванадия V (а), объемно-центрированная псевдотетрагональная (пр. гр.  $I4/mmm$ ) решетка  $\beta$ -фазы – неупорядоченного твердого раствора кислорода в ванадии V(O) (б) и положение идеальной моноклинной (пр. гр.  $C2/m$ ) элементарной ячейки субоксида ванадия  $V_{14}O_6$  (с) в базисной объемно-центрированной псевдотетрагональной решетке: 1 – атомы ванадия V, 2 – октаэдрические междоузлия ОЦК решетки ванадия и ОЦТ решетки твердого раствора V(O), 3 – атомы кислорода O, 4 – вакансии

$V_{14}O_6$  фактор достоверности  $R_I = 0.105$ , для моноксида  $R_I = 0.081$ . Параметры элементарной ячейки моноклинного (пр. гр.  $C2/m$ ) упорядоченного субоксида  $V_{14}O_6$  равны  $a_m = 0.95536(6)$ ,  $b_m = 0.29184(2)$ ,  $c_m = 0.77622(9)$  нм и  $\beta_m = 90.32(4)^\circ$ , что хорошо согласуется с данными [8, 9]. Параметры элементарной ячейки этого же субоксида  $V_{14}O_6$ , найденные минимизацией рентгенограммы образца  $VO_{0.81}$ , почти такие же:  $a_m = 0.95538(7)$ ,  $b_m = 0.29214(6)$ ,  $c_m = 0.77690(2)$  нм и  $\beta_m = 90.26(4)^\circ$ . Небольшое различие параметров лежит в пределах ошибки определения. Однако моноклинный субоксид имеет узкую область гомогенности [8, 9] и различие параметров решетки может быть следствием отклонения его состава в изученных образцах от стехиометрического состава  $V_{14}O_6$  идеальной упорядоченной фазы. С учетом параметров решетки  $a \approx b = 0.299 - 0.292$  и  $c = 0.327 - 358$  нм базисной неупорядоченной тетрагональной  $\beta$ -фазы [6–9] и геометрии моноклинной фазы  $V_{14}O_6$  трансляционные векторы элементарной ячейки  $V_{14}O_6$  равны  $\mathbf{a}_m = [3\ 0\ -1]_{bct}$ ,  $\mathbf{b}_m = [0\ 1\ 0]_{bct}$  и  $\mathbf{c}_m = [1\ 0\ 2]_{bct}$ . В идеальной моноклинной структуре  $V_{14}O_6$  атомы V занимают позицию 2(d) с координатами  $(0\ 1/2\ 1/2)$  и три позиции 4(i) с координатами  $(9/14\ 0\ 1/4)$ ,  $(11/14\ 0\ 9/14)$  и  $(13/14\ 0\ 3/14)$ , атомы O находятся в позициях 2(a) с координатами  $(0\ 0\ 0)$  и 4(i) с координатами  $(2/7\ 0\ 1/7)$ , а две позиции 4(i) с координатами  $(6/7\ 0\ 3/7)$  и  $(4/7\ 0\ 2/7)$  вакантны. Положение элементарной ячейки идеального моноклинного (пр. гр.  $C2/m$ ) субоксида  $V_{14}O_6$  в базисной тетрагональной решетке показано на рис.3.

Для понимания сверхструктуры  $V_{14}O_6$  кратко обсудим, как искажается решетка ванадия при внедрении кислорода и образовании  $\beta$ -фазы (неупорядоченного твердого раствора кислорода в ванадии), какие позиции искаженной решетки занимают атомы кислорода.

Ванадий имеет объемно-центрированную кубическую (ОЦК, пр. гр.  $Im\bar{3}m$ ) решетку (рис.3а), в которой на каждую элементарную ячейку приходится три октаэдрических междоузлия (или полтора междоузлия на один атом ванадия). Центры октаэдрических междоузлий, заполняющих весь объем ОЦК решетки, совпадают или только с центрами граней, или только с серединами ребер ОЦК элементарных ячеек. При образовании  $\beta$ -фазы (неупорядоченного твердого раствора кислорода в ванадии) металлическая ОЦК решетка искажается и становится объемно-центрированной тетрагональной (ОЦТ) с пространственной группой  $I4/mmm$ . Но угол  $\beta_{tetg}$  между осями  $a$  и  $c$  немного больше  $90^\circ$ , поэтому более верно называть решетку псевдотетрагональной. В неупорядоченном твердом растворе октаэдрические междоузлия, в которых могут размещаться атомы кислорода, также образуют ОЦТ подрешетку с расстоянием  $d \geq (a^2/2 + c^2/4)^{1/2}$  между ближайшими атомами O ( $a \approx b$  и  $c$  – периоды тетрагональной решетки). Однако расстояния между центрами ближайших октаэдрических междоузлий меньше и равны  $(a^2/2)^{1/2}$  и  $(a^2/4 + c^2/4)^{1/2}$ . Это значит, что ближайшие атомы O заполняют октаэдрические междоузлия, центры которых смешены друг относительно друга не ме-

нее чем на вектор  $(1/2\ 1/2\ 1/2)$ . Иначе говоря, если один атом кислорода находится в центре грани ОЦТ ячейки, то ближайший к нему атом О находится на расстоянии  $d = (a^2/2 + c^2/4)^{1/2}$  на середине ребра ОЦТ ячейки (рис.3б). Эта система центров октаэдрических междоузлий тоже является ОЦТ и смешена относительно ОЦТ подрешетки ванадия на вектор  $(1/2\ 0\ 0)$  (или  $(0\ 1/2\ 0)$ , или  $(0\ 0\ 1/2)$ ) (рис.3б). Наблюдаемое заполнение октаэдрических междоузлий атомами кислорода обусловлено близкодействующими взаимодействиями – отталкиванием отрицательно заряженных кислородных ионов. Между октаэдрическими междоузлиями подрешетки ванадия, расположеными указанным образом, появляются тетраэдрические пустоты. В результате на каждый атом V приходится только одно октаэдрическое междоузлие, и в пределе при заполнении всех таких октаэдрических междоузлий возможно образование монооксида ванадия  $VO$  ( $V_xO_z$ ). Это дает основание полагать, что наличие отмеченного ближнего порядка в расположении атомов кислорода играет важную роль в образовании оксидных фаз ванадия вплоть до кубического монооксида. Система октаэдрических междоузлий при ее частичном или полном заполнении является неметаллической подрешеткой соответствующей фазы.

Неупорядоченный тетрагональный твердый раствор  $V(O)$  кислорода в ванадии или  $\beta$ -фаза существует при достаточно высокой температуре  $T > 800$  К и частичном заполнении кислородом октаэдрических междоузлий: согласно [2, 3], максимальное содержание кислорода в однофазных образцах  $\beta$ -фазы достигает 25–28 ат.%. Образование сверхструктуры  $V_{14}O_6$  (рис.3с) происходит при понижении температуры в результате перераспределения атомов кислорода по узлам неметаллической подрешетки.

Согласно расчету, векторы обратной решетки упорядоченного субоксида равны  $\mathbf{a}^* = (2/7, 0, -1/7)$ ,  $\mathbf{b}^* = (0, -1, 0)$  и  $\mathbf{c}^* = (1/7, 0, 3/7)$ . Комбинирование и трансляция этих векторов показали, что в первой зоне Бриллюэна неупорядоченной базисной объемно-центрированной тетрагональной неметаллической подрешетки находятся шесть неэквивалентных сверхструктурных векторов. Они принадлежат трем немифициевским 8-лучевым звездам  $\{\mathbf{k}_{1-1}\}$ ,  $\{\mathbf{k}_{1-2}\}$  и  $\{\mathbf{k}_{1-3}\}$  одного типа  $\{\mathbf{k}_1\}$ . Для звезды  $\{\mathbf{k}_1\}$  ОЦТ решетки вектор-представитель имеет вид  $\mathbf{k}_1^{(1)} = \nu\mathbf{b}_2 + \mu(\mathbf{b}_3 - \mathbf{b}_1)$ , где  $\mathbf{b}_1 = (0, \pi/a, \pi/c)$ ,  $\mathbf{b}_2 = (\pi/a, 0, \pi/c)$  и  $\mathbf{b}_3 = (\pi/a, \pi/a, 0)$  – структурные векторы обратной решетки базисной тетрагональной фазы [12]. Три звезды, которым принадлежат сверхструктурные векторы, различаются толь-

ко длиной лучей, то есть численными значениями текущих параметров  $\nu$  и  $\mu$ . Звезда  $\{\mathbf{k}_{1-1}\}$  имеет параметры  $\nu_1 = 2/7$  и  $\mu_1 = -1/7$ , для звезды  $\{\mathbf{k}_{1-2}\}$   $\nu_2 = 1/7$  и  $\mu_2 = 3/7$ ; звезда  $\{\mathbf{k}_{1-3}\}$  имеет самые длинные лучи, поскольку  $\nu_3 = 4/7$  и  $\mu_3 = -2/7$ . Шесть сверхструктурных векторов, образующих канал перехода беспорядок-порядок “ $\beta$ -фаза  $VO_y \rightarrow \gamma$ -фаза  $V_{14}O_6$ ”, соответствуют двум лучам  $\mathbf{k}_{1-1}^{(1)} = 2\mathbf{b}_2/7 - (\mathbf{b}_3 - \mathbf{b}_1)/7 = \mathbf{c}^* = (1/7, 0, 3/7)$  и  $\mathbf{k}_{1-1}^{(2)} = -\mathbf{k}_{1-1}^{(1)}$  звезды  $\{\mathbf{k}_{1-1}\}$ , лучам  $\mathbf{k}_{1-2}^{(1)} = \mathbf{b}_2/7 + 3(\mathbf{b}_3 - \mathbf{b}_1)/7 = 2\mathbf{a}^* = (4/7, 0, -2/7)$  и  $\mathbf{k}_{1-2}^{(2)} = -\mathbf{k}_{1-2}^{(1)}$  звезды  $\{\mathbf{k}_{1-2}\}$  и двум лучам  $\mathbf{k}_{1-3}^{(1)} = 4\mathbf{b}_2/7 - 2(\mathbf{b}_3 - \mathbf{b}_1)/7 = 2\mathbf{c}^* = (2/7, 0, 6/7)$  и  $\mathbf{k}_{1-3}^{(2)} = -\mathbf{k}_{1-3}^{(1)}$  звезды  $\{\mathbf{k}_{1-3}\}$ . Наличие в канале перехода лучей нескольких немифициевских звезд однозначно указывает на первый род обсуждаемого фазового перехода “ $\beta$ -фаза  $VO_y \rightarrow \gamma$ -фаза  $V_{14}O_6$ ”. Нужно подчеркнуть, что до сих пор в литературе никогда не был описан фазовый переход беспорядок-порядок, в котором искажение симметрии происходит по нескольким звездам одного типа. Переходы же беспорядок-порядок, происходящие с участием разных звезд волновых векторов, довольно обычное явление в нестехиометрических соединениях, таких переходов известно уже не менее десяти [4, 5, 13].

В неупорядоченном состоянии атомы однородно распределены по всем узлам  $\mathbf{r} = (x_i, y_i, z_i)$  своей подрешетки, поэтому вероятность нахождения атома данного сорта в любом узле  $\mathbf{r}$  равна  $n(\mathbf{r}) = y$ , то есть относительной доле узлов подрешетки, занятых этими атомами. При переходе беспорядок-порядок однородное распределение атомов по узлам кристаллической решетки неупорядоченной фазы испытывает пространственно-периодическую модуляцию  $\Delta n(\mathbf{r})$ , в результате чего образуется упорядоченная фаза. Эта модуляция есть отклонение вероятности  $n(\mathbf{r})$  от ее значения  $y$  в случае неупорядоченного (статистического) распределения, то есть  $\Delta n(\mathbf{r}) = n(\mathbf{r}) - y$ . Согласно [14], модуляцию можно представить как суперпозицию нескольких плоских концентрационных волн. Волновыми векторами этих концентрационных волн являются сверхструктурные векторы, образующие канал фазового перехода беспорядок-порядок [4, 5]. С учетом этого в методе статических концентрационных волн [14] вероятность нахождения атома данного сорта на узле  $\mathbf{r}$  равна  $n(\mathbf{r}) = y + \Delta n(\mathbf{r})$  и выражается в виде функции распределения:

$$n(\mathbf{r}) = y + \frac{1}{2} \sum_s \sum_{j_1 s} \eta_s \gamma_s [\exp(i\varphi_s^{(j)}) \exp(i\mathbf{k}_s^{(j)} \mathbf{r}) + \exp(-i\varphi_s^{(j)}) \exp(-i\mathbf{k}_s^{(j)} \mathbf{r})], \quad (1)$$

где второе слагаемое есть модуляция  $\Delta n(\mathbf{r})$ ;  $\eta_s$  – параметр дальнего порядка, соответствующий звезде  $\{\mathbf{k}_s\}$ ;  $\mathbf{k}_s^{(j)}$  – сверхструктурный вектор  $\mathbf{k}_s^{(j)}$  звезды  $\{\mathbf{k}_s\}$ , порождающий плоскую статическую концентрационную волну;  $\eta_s \gamma_s$  и  $\varphi_s^{(j)}$  – амплитуда и фазовый сдвиг концентрационной волны, соответственно. Легко видеть, что число разных значений функции распределения на единицу больше числа параметров дальнего порядка.

В неупорядоченном твердом растворе кислорода в ванадии V(O) решеткой Изинга, в которой может происходить атомно-вакансационное упорядочение, является ОЦТ подрешетка кислорода. Трем звездам  $\{\mathbf{k}_{1-1}\}$ ,  $\{\mathbf{k}_{1-2}\}$  и  $\{\mathbf{k}_{1-3}\}$ , чьи лучи образуют канал перехода беспорядок-порядок, соответствуют параметры дальнего порядка  $\eta_{1-1}$ ,  $\eta_{1-2}$  и  $\eta_{1-3}$ . Расчет функции распределения, описывающей упорядоченную фазу  $V_{14}O_6$ , сводится к определению численных значений коэффициентов  $\gamma_s \exp(i\varphi_s^{(j)})$  таким образом, чтобы при максимальных значениях параметров дальнего порядка  $\eta$  функция распределения на всем множестве узлов идеальной упорядоченной подрешетки принимала только два значения: 1 на узлах, занятых атомами кислорода, и 0 на вакантных узлах. Расчет показал, что функция распределения атомов кислорода O в упорядоченном моноклинном субоксиде  $V_{14}O_6$  имеет вид

$$\begin{aligned} n_O(x_I, y_I, z_I) = & y + \frac{\eta_{1-1}}{7 \cos(3\pi/7)} \cos[2\pi(x_I + 3z_I)/7] - \\ & - \frac{\eta_{1-2}}{7 \cos(2\pi/7)} \cos[2\pi(4x_I - 2z_I)/7] + \\ & + \frac{\eta_{1-3}}{7 \cos(\pi/7)} \cos[2\pi(2x_I + 6z_I)/7]. \end{aligned} \quad (2)$$

При произвольной величине параметров дальнего порядка  $\eta$  функция распределения (2) принимает четыре разных значения. На узлах 2(a) и 4(i), занятых атомами кислорода,  $n_{1(O)} = y + \eta_{1-1}/(7m) + \eta_{1-2}/(7n) + \eta_{1-3}/(7p)$  и  $n_{2(O)} = y + \eta_{1-1}(n/7m) - \eta_{1-2}(p/7n) - \eta_{1-3}(m/7p)$ , а на вакантных узлах 4(i) с координатами  $(6/703/7)$  и  $(4/702/7)$  значения функции распределения равны  $n_{3(O)} = y - \eta_{1-1}(p/7m) - \eta_{1-2}(m/7n) + \eta_{1-3}(n/7p)$  и  $n_{4(O)} = y - \eta_{1-1}/7 - \eta_{1-2}/7 - \eta_{1-3}/7$ , где  $m = \cos(3\pi/7)$ ,  $n = -\cos(2\pi/7)$  и  $p = \cos(\pi/7)$ . При максимальных параметрах порядка  $\eta_{1-1} = \eta_{1-2} = \eta_{1-3} = 1$  четыре значения функции (2) вырождаются в два:  $n_{1(O)} = n_{2(O)} = 1$  и  $n_{3(O)} = n_{4(O)} = 0$ . По расчету, в полностью упорядоченном субоксиде ванадия относительная концентрация атомов O равна  $y_{st} = 3/7$ , что соответствует стехиометрическому составу упорядоченной фазы  $V_{14}O_6$ .

Точечная группа симметрии  $2/m$  ( $C_{2h}$ ) моноклинного субоксида  $V_{14}O_6$  включает 4 элемента симметрии  $h_1$ ,  $h_4$ ,  $h_{25}$  и  $h_{28}$ , а в точечную группу  $4/mmm$  ( $D_{4h}$ ) базисной тетрагональной неупорядоченной  $\beta$ -фазы V(O) входят 16 элементов  $h_1-h_4$ ,  $h_{13}-h_{16}$ ,  $h_{25}-h_{28}$  и  $h_{37}-h_{40}$  [4, 5, 12], поэтому поворотное снижение симметрии равно 4. Понижение трансляционной симметрии равно отношению объемов элементарных ячеек упорядоченной и неупорядоченной фаз и в данном случае равно 7. Общее понижение симметрии  $N$  есть произведение поворотного понижения симметрии на понижение трансляционной симметрии. С учетом этого в переходе “ $\beta$ -фаза  $VO_y$  (пр. гр.  $I4/mmm$ )  $\rightarrow$   $\gamma$ -фаза  $V_{14}O_6$  (пр. гр.  $C2/m$ )” общее понижение симметрии  $N = 28$ .

Выполненное уточнение кристаллической структуры показало, что в изученном моноклинном субоксиде небольшое количество атомов кислорода размещается на позициях 4(i) с координатами  $(6/703/7)$  и  $(4/702/7)$ , которые вакантны в идеальной сверхструктуре. В соответствии с этим изученный субоксид имеет состав  $V_{14}O_{6.16}$  ( $VO_{0.44}$ ). Из уточнения кристаллической структуры следует также, что в реальном моноклинном субоксиде  $V_{14}O_6$  атомы V, занимающие позиции 4(i), заметно смещены и имеют следующие координаты:  $(9/14 + \delta, 0, 1/14 - 3\delta)$ ,  $(11/14 + \delta, 0, 9/14 - 3\delta)$ ,  $(13/14 + \delta, 0, 3/14 - 3\delta)$ , где  $\delta = 0.01$ . Смещения атомов кислорода, занимающих позиции 4(i) с идеальными координатами  $(2/701/7)$ , примерно в пять раз меньше смещений атомов ванадия. Соотношение величины атомных смещений вдоль осей  $a_m$  и  $c_m$  моноклинной элементарной ячейки таково, что в базисной ОЦТ решетке атомы ванадия смещаются только вдоль оси  $c_{bct} \equiv [001]_{bct}$ . Найденное направление смещений атомов ванадия совпадает с направлением смещений, установленным в работе [8], и противоположно направлению смещений для позиций ванадия с координатами  $(9/14, 0, 1/14)$  и  $(13/14, 0, 3/14)$ , которое предложено в работе [9]. Для уточнения величины и направления смещений нужно провести дополнительное нейтронографическое исследование структуры моноклинного субоксида  $V_{14}O_6$ . Заметим, что установленные в данной работе атомные смещения дополнительно исказывают ОЦТ подрешетку атомов ванадия так, что подготавливают ее превращение в гранецентрированную кубическую (ГЦК) подрешетку. Это исказжение металлической подрешетки вместе с увеличением степени заполнения октаэдрических междуузлий атомами кислорода приводит к превращению субоксида  $V_{14}O_6$  в кубический монооксид ванадия  $V_xO_z$  со структурой B1.

- 
1. H. A. Wriedt, Bull. Alloy Phase Diagrams **10**, 271 (1989).
  2. H. A. Wriedt, In: *Phase Diagrams of Binary Vanadium Alloys*, Ed. J. F. Smith, Materials Park (OH, USA), ASM International, 1989, p. 175.
  3. Л. Е. Шелимова, О–V (кислород-ванадий), В кн.: *Диаграммы состояния двойных металлических систем*, т. 3, под ред. Н. П. Лякишева, М.: Машиностроение, 2001, с. 715–718.
  4. A. I. Gusev, A. A. Rempel, and A. J. Magerl, *Disorder and Order in Strongly Nonstoichiometric Compounds: Transition Metal Carbides, Nitrides and Oxides*, Berlin, Springer, 2001.
  5. А. И. Гусев, *Нестехиометрия, беспорядок, ближний и дальний порядок в твердом теле*, М.: Физматлит, 2007.
  6. S. Westman, Acta Chem. Scand. **17**, 749 (1963).
  7. M. Cambini, G. Pellarini, and S. Amelinckx, Mater. Res. Bull. **6**, 791 (1971).
  8. K. Hiraga and M. Hirabayashi, J. Solid State Chem. **14**, 219 (1975).
  9. Л. Н. Галкин, В. В. Вавилова, Л. Е. Фыкин, Изв. АН СССР, Неорган. материалы **13**, 1839 (1977).
  10. М. П. Арбузов, Н. Т. Бугайчук, Б. В. Хаенко, Докл. АН УССР, сер. А №4, 307 (1979).
  11. A. C. Larson and R. B. von Dreele, *General Structure Analysis System (GSAS)*, Los Alamos National Laboratory Report LAUR 86-748, Los Alamos, 2004.
  12. О. В. Ковалев, *Неприводимые и индуцированные представления и копредставления федоровских групп*, М.: Наука, 1986.
  13. A. I. Gusev and A. A. Rempel, Phys. Stat. Sol.(a) **135**, 15 (1993).
  14. А. Г. Хачатуров, *Теория фазовых превращений и структура твердых растворов*, М.: Наука, 1974.